

DİFÜZYONLU ABSORBSİYONLU MİNİ SOĞUTUCULARDA NANOAKIŞKAN KULLANIMININ EKSERJİ PERFORMANSINA ETKİSİ

Adnan Sözen

Gazi Üniversitesi, Teknoloji Fakültesi Enerji Sistemleri Mühendisliği Bölümü, Ankara asozen@gazi.edu.tr

Engin Özbaş

19 Mayıs Üniversitesi, Yeşilyurt MYO, Samsun engin.ozbas@omu.edu.tr

Tayfun Menlik

Gazi Üniversitesi, Teknoloji Fakültesi Enerji Sistemleri Mühendisliği Bölümü, Ankara tmenlik@gazi.edu.tr

Erdem Çiftçi

Gazi Üniversitesi, Teknoloji Fakültesi Enerji Sistemleri Mühendisliği Bölümü, Ankara erdemciftci@gazi.edu.tr

Ümit İskender

Gazi Üniversitesi, Teknoloji Fakültesi Enerji Sistemleri Mühendisliği Bölümü, Ankara uiskender@yahoo.com

ÖZET

Bu çalışmada, nano boyutta alumina (Al_2O_3) partikülleri içeren amonyak/su çalışma akışkanı kullanılarak Difüzyonlu Absorbsiyonlu Soğutma Sisteminin (DASS) enerji ve eksjerji analizleri yapılmıştır. Nanopartiküllerin sahip olduğu büyük yüzey alanlarından dolayı akışkanın yüzey alanı ve ısıl kapasitesi arttığı için ısı transferinin gerçekleştiği komponentlerdeki ısı geçişinin hızlanarak sistemin soğutma sıcaklığına düşüşü hızlanır. Yapılan deneyler, nanopartikül içeren sistemin, jeneratörde daha iyi ısı absorbsiyonu sağladığını ve soğutucunun, soğurucu akışkan içerisindeki hızlı bir şekilde buharlaştığını göstermiştir. Çalışma akışkan çiftine alumina nanopartiküllerinin eklenmesi sistemin ısıl performans katsayısını ve eksjerjetik performans katsayısını sırasıyla %55.56 ve %22.8 oranlarında arttırmış, dolaşım oranını (f) ise %51.72 oranında azaltmıştır. En yüksek eksjerji kaybı jeneratörde gerçekleşmiştir.

Anahtar kelimeler: Difüzyonlu absorbsiyonlu soğutma sistemi, Eksjerji, Nanoakışkan.

THE EFFECT OF THE USAGE OF NANOFUID ON EXERGY PERFORMANCE OF DIFFUSION ABSORPTION MINI REFRIGERATION

ABSTRACT

In this study, the effects of the passive heat transfer improvement method of coupling ammonia/water with nano-size alumina (Al_2O_3) particles were examined in regard to the heat performance of a diffusion absorption refrigeration system (DARS). Adding nanoparticles into the fluid leads to significant improvement in heat transfer since the surface area and heat capacity of the fluid increase due to the high surface area of the nanoparticles. In this study, cooling/absorbent fluid mixtures with Al_2O_3 nanoparticles and their impact on system energy and exergy performance were assessed. The results of experiments indicated that the system with nanoparticles provided better absorption of heat from the generator and faster evaporation of the cooler from the cooling/absorption fluid. Addition of alumina nanoparticles to DARS improved the system's coefficient of performance (COP) and exergetic coefficient of performance (ECOP) by 55.56% and 22.8%, respectively, and reduced the circulation ratio (f) by 51.72%. It was found that the highest exergy destruction was in the DARS generator.

Keywords: Diffusion Absorption refrigeration system, Exergy, Nanofuid.

Terminoloji	
h	Entalpi (kJkg^{-1})
\dot{m}	Küresel debi (kgs^{-1})
P_2	Evaporatör çıkış basıncı (Bar)
Q	Isıtma yükü (W)
T_2	Kondenser giriş çıkış sıcaklığı ($^{\circ}\text{C}$)
T_3	Kondenser çıkış sıcaklığı ($^{\circ}\text{C}$)
T_{4a}	Sıvı fazdaki düşük basınçlı amonyağın evaporatöre giriş sıcaklığı ($^{\circ}\text{C}$)
T_{4c}	Evaporatör giriş sıcaklığı ($^{\circ}\text{C}$)
T_5	Absorber (soğurucu) sıcaklığı ($^{\circ}\text{C}$)
T_{7b}	Kazan giriş sıcaklığı ($^{\circ}\text{C}$)
U	Belirsizlik
E	Ekserji
d	Damiltıcı (Recrifier)

Kısaltmalar	
COP	Entalpi (kJkg^{-1})
DASS	Küresel debi (kgs^{-1})

Alt indisler	
çd	çözelti ısı değiştirici
evap	Evaporatör
kon	Kondenser
isi	sıcıcı
ig	İnert(soy) gaz
m	Ölçüm
sf	Saflaştırma
k	Kazan
b	Buhar
s	Sıvı
1-7	DASS üzerindeki ölçüm noktaları

1. Giriş

Von Platen ve Munters 1920'li yıllarda difüzyonlu absorpsiyonlu soğutma sistemini bulmuşlardır[1]. Bu çalışmada sistemde yardımcı soy gaz olarak kullanılan helyum ile birlikte iş akışkanı olarak amonyak-su çifti kullanılmıştır. Sınırlı miktarda ısı uygulamalarına dayanan DASS, sessiz çalışma özelliğinden ötürü ev tipi soğutucularda, karavanlarda rekreatif araçlarında ve özellikle otel odaları ile ofislerde yaygın bir şekilde kullanılmaktadır. Ancak DASS, düşük performansa ve soğutma kapasitesine sahiptir. Literatürde DASS'nın performansını artırmayı amaçlayan çok sayıda çalışma vardır[2-8]. Literatürdeki DASS çalışmalarında ısı ve kütle transferini iyileştirmek için 3 metot uygulanmaktadır. Bunlar:

a) Mekanik işlem:

Zohar ve ark.[2] bir DAS çevriminin performansını evaporatör girişinden önce ön soğutmalı ile ve soğutmasız olarak incelemiştir ve karşılaştırmışlardır. Ayrıca bu iki çevriminin performanslarını bilgisayar simülasyonları ile parametrik olarak incelemiştir. Çalışmanın sonunda ise ön soğutmalı DAS çevrimine kıyasla ön soğutmasız DAS çevriminin daha yüksek COP değerlerine sahip olduğu (%14-20 oranında) gösterilmiştir.

Sözen ve arkadaşları[3] bir DASS içerisindeki soğurucudan (absorber) önce sisteme bir ejektör ekleyerek sistemdeki değişimleri deneysel olarak gözlemlenmiştir. Jeneratörden gelen zayıf çözelti eşit miktarda iki parçaya bölünmüş ve sonrasında bu parçalardan birisi ejektörün karışım odasına diğer ise soğurucuya bağlanmıştır. Deneyler sonucunda elde edilen veriler ejektörsüz DASS ile kıyaslandığında ejektörlü DASS çevriminin daha yüksek performans sergilediğini ortaya koymuştur.

Starace ve Pascalis[4], DAS sisteminde mikrodalga etkileşimli ısı pompası kullanarak daha hızlı bir soğutma etkisi ve başlangıç geçici zamanda azalma elde etmişlerdir.

Zohar ve arkadaşları[5], DASS'nın ana bölümlerinde bulunan baloncukların performansı etkisini incelemiştir.

b) Kimyasal İşlem:

DASS'nin performansını artırmak amacıyla farklı soğutucu ve soğurucu akışkanlar, helyum ve hidrojen gibi basınç dengeleyici gazlarla birlikte kombine olarak kullanılmaktadır[6-8]. R32, R124, R125 ve R134a gibi organik absorbanlar sistemin performansını artırmak amacıyla kullanılmışlardır. Starace ve Pascalis[6], saf amonyağı soğutucu akışkan kabul ederek DASS'nin termodinamik modelini analiz etmişlerdir.

c) Nanoteknoloji:

Son yıllarda iş akışkanı içeresine belli oranlarda ve belirli boyutlarda metal oksit partiküllerin eklenmesiyle elde edilen nano akışkanların ısı emilimi ve ısı transferi açısından performansı artırdığı gözlemlenmiştir. Daha önceki çalışmalar ısı borularında, absorpsiyonlu soğutma sistemlerinde ve ısı değiştiricilerinde kullanılan nanoakışkanların nano boyutta metal oksitler içerdığını ve bunların, sistemin performansını artırdığını göstermiştir[9-11]. Yang ve arkadaşlarının[10], nano soğutucu kullanarak gerçekleştirdikleri performans analizlerinin sonuçları sistemin performansını artırma eğiliminde olduğunu göstermiştir. Mahbupal ve arkadaşları [9], ile Kim ve arkadaşları[11], yaptıkları diğer çalışmalarda nano soğutucuların termofiziksel özellikleri ile soğurma özelliklerini belirlemişlerdir.

Odriguez-Minoz ve Belman-Flores[12], ile Yıldız ve Ersöz[13], teorik çalışmalarında konvansiyonel DASS için enerji ve ekserji analizleri yapmışlardır. Literatürde absorpsiyonlu soğutma sistemleri konusunda pek çok çalışma olmasına rağmen difüzyonlu absorpsiyonlu soğutma sistemleri ile ilgili çalışma sayısı sınırlıdır.

Bu çalışma DASS'de bulunan, elektriğin ısuya dönüştürüldüğü kaynatıcılardaki amonyak/su karışımından buhar fazındaki amonyağın daha hızlı ayrılmasını sağlamak amacıyla iş akışkanı içeresine nano partiküllerin eklenmesini inceleyen deneysel bir çalışmayı ortaya koymaktadır. Bir absorpsiyonlu soğutma sisteminde nano parçacıkların kullanımı 4 temel fayda sağlamaktadır:

- I. Soğutucu ve soğurucu arasındaki çözünürlük artırılabilir.
- II. Soğutucunun ısıl iletkenliği ve ısı transferi karakteristikleri artırılabilir.

- III. Yüzey aktifleştirici ile sürtünme katsayısı ve aşınma hızı azaltılabilir.
- IV. Çalışma akışkanının yüksek ısı kapasitesi ve daha yüksek ısı transfer alanına sahip olması tubulans esnasında oluşan kabarcıkların yatay ısı gradyenin sabitlenmesine neden olmaktadır.

Bu çalışmada, sistemin termodinamik analizinde kullanılmak üzere belirli noktalardan basınç ve sıcaklık ölçümleri alınmıştır. Isıl sistemlerde sistemin hangi bileşeninin daha yüksek isıl tersinmezlige sahip olduğu sadece enerji analizi ile değil aynı zamanda ekserji analizi yapılarak belirlenir. Bu amaçla hem nanoakışkanlı hem de nanoakışkansız sistemlerin enerji ve ekserji analizleri yapılarak elde edilen veriler karşılaştırılmıştır. Bunun sonucunda nanoakışkan kullanımının DAS sistemi bileşenlerinin isıl özellikleri üzerindeki etkileri incelenmiştir. Bu çalışmayı Ref. 13 de belirtilen çalışmadan ayıran temel özellik, nanopartikül kullanımının sistem performansı ve sistem bileşenleri ile bağlantılı olan kayıplar üzerine etkisinin deneyel olarak incelenmesidir.

Amonyak/su karışımına alümina partikülleri eklemek hidrojen bağlarının sayısını, dolayısıyla karışımın özgül ısısını arttırır. DASS içerisinde ısı ile birlikte çözelti içeren nanoakışkan kullanmak, iş akışkanı içerisinde bulunan amonyağın jeneratörde hızlıca ayrılmasını ve su içeren nanopartiküllerin soğurucuya geri dönmesini kolaylaştırır. Bu özellik sayesinde, evaporatör ve kondensere gönderilen amonyak içerisinde hiç su buharının bulunmaması sağlanmış olacaktır. Bunun sonucunda; sistem basıncını artırarak ve akabinde sistemde daha yüksek bir dolaşım hızı elde edilerek ve ayrıca gerekli soğutma sıcaklığına daha kısa sürede ulaşarak elektrik enerjisinden tasarruf edilmiş olur.

2. DİFÜZYONLU ABSORBSİYONLU SOĞUTMA SİSTEMLERİ

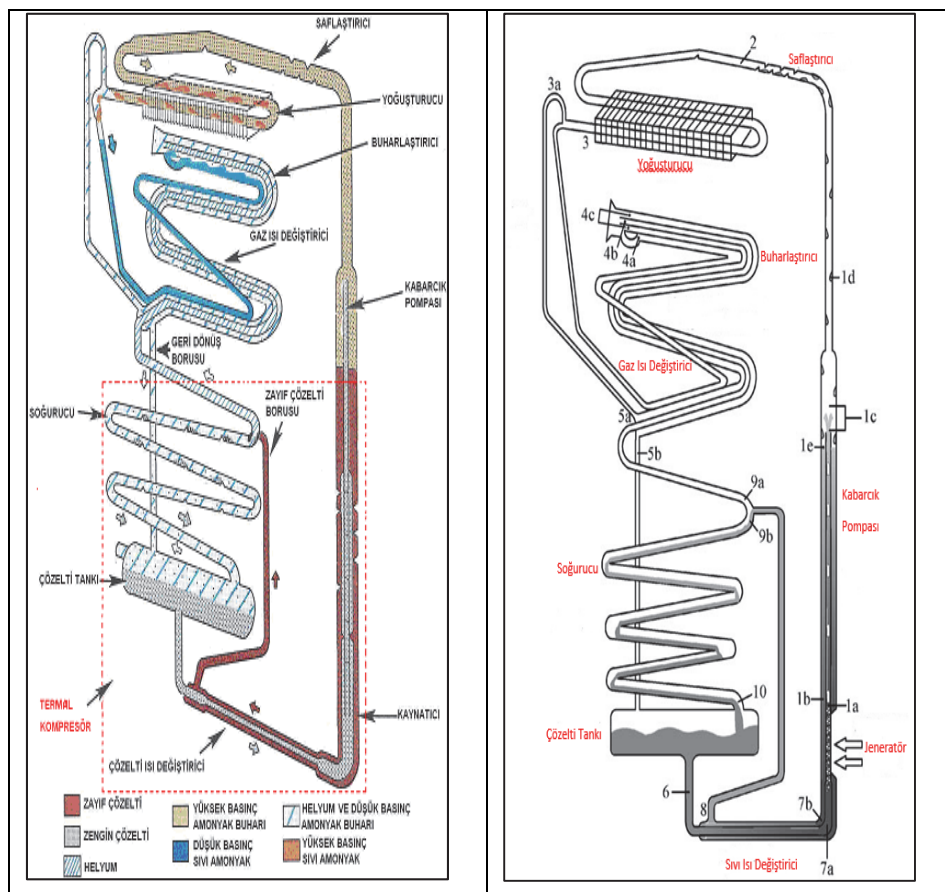
Buhar sıkıştırmalı mekanik soğutma çevrimi, yoğunturucu, buharlaştırıcı ve kışılma vanası ve kompresör olmak üzere dört ana elemandan oluşmaktadır, verilen iş sayesinde soğutucu akışkanın mekanik olarak kompresör tarafından sıkıştırılması esasına dayanır[40].

Difüzyonlu absorbsiyonlu soğutma çevrimiyle buhar sıkıştırmalı çevrim karşılaştırıldığında birçok benzerlik hemen göze çarpmaktadır. Buharlaştırıcı ile yoğunturucu soğurmali soğutma sisteminde de aynen mevcuttur. Fark olarak

kompresör ve kışılma vanasının yerini bir jeneratör ile bir soğurucu almaktadır[2].

Elektrik enerjisinin yaygın olarak kullanılamadığı dönemlerde, buzdolaplarında soğutma sistemi olarak ısıl güç ile çalışan soğurmali sistem kullanılmıştır. Hatta bu sistem için buzdolabı uygulamasında kullanılan ilk soğutma sistemi de denilebilir. Fakat elektrik enerjisinin yaygınlaşması ile birlikte yerini klasik kompresörlü sisteme bırakmıştır. Kompresörlü sistemlerin buzdolaplarındaki kullanımının yaygınlaşması, soğurmali soğutma sistemi üzerinde yapılan çalışmaları da uzun bir süre yavaşlatmıştır. Fakat kompresörlü sistemlerdeki gürültü sorununun çözülememiş olması, sessiz çalışma özelliğine sahip olan soğurmali sistemi kısmen tercih edilir bir hale getirmiştir. Böylelikle soğurmali sistem üzerinde yapılan çalışmalar son yıllarda tekrar hız kazanmıştır[14].

Difüzyonlu Absorbsiyonlu soğutma (DAS) (Şekil 1) çevrimi ilk olarak 1920 yıllarında İsveç-Stockholm'da bulunan Royal Teknoloji Enstitüsü öğrencilerinden Platen ve Muntres tarafından bulunmuştur ve "Electrolux" ticari ismi ile yıllardır üretilmektedir. Sistem içerisinde, soğutucu akışkan olarak amonyak, soğurucu akışkan olarak su ve basınç dengeleyici olarak da hidrojen ve helyum gazı olmak üzere üç çalışma akışkanı bulunur. Hareketli hiçbir parçanın bulunmadığı sistemde, bakım-onarım, gürültü ve titreşim de söz konusu değildir. Karavan ve kamp kullanımı için gaz yağı veya sıvılaştırılmış petrol gazının (LPG) yakılması sonucu elde edilen ısı enerjisi ile soğutucu cihaz çalıştırılabilir. Ayrıca gürültünün en az seviyede olması istenen otel gibi yerlerde elektrikli ısıtıcı ile sistem sessiz olarak çalıştırılabilir[12].



Şekil 1. Ön soğutmalı difüzyonlu absorbsiyonlu soğutma sistemi.

Büyük kapasiteli soğurmali soğutma sistemlerinde eriyiğin dolaşımı soğurucu ile jeneratör arasında konan bir mekanik pompa ile sağlanmaktadır. Ev tipi küçük kapasiteli difüzyonlu absorbsiyonlu soğutma sistemlerinde ise buharlaştırıcı ve soğurucu arasında dolaşan hidrojen veya helyum gazının kısmi basıncından yararlanarak soğurucu ile jeneratör arasındaki basınç farkı dengelenir. Böylece sistem basıncının sabit kalması nedeniyle eriyik dolaşımı için mekanik pomپaya gerek kalmaz[43].

Pompasız ev tipi difüzyonlu absorbsiyonlu soğutma sisteminin çalışması aşağıda belirtilen iki esasa dayanır;

- a. Yüksek miktarlardaki amonyağın, düşük basınçta soğuk su tarafından emilmesi (soğurulması) ve yüksek sıcaklık ve basınçta ayrılması özelliğine,
- b. Amonyak buharının yüksek basınç ve sıcaklıkta yoğunlaşması ve düşük sıcaklıkta buharlaşma özelliğine bağlıdır[43].

Yapılan deneylerde farklı bölgelerin basıncı ölçülmüş ve aralarında oldukça küçük basınç farkının olduğu gözlemlenmiştir. Sistemin bazı bölgelerinde basınç değerinde küçük değişiklikler gösterse de toplam basınç göz önüne alındığında bu değişikliklerin ihmali edilebilecek seviyelerde olduğu söylenebilir. Bundan dolayı sonraki deneylerde sadece saflaştırıcı ve yoğunluklu arasında basıncı ölçülmüş ve bu ölçüm değeri sistem basıncı olarak belirlenmiştir. Sistemdeki dolaşım, sabit basınç altında kabarcık pompasının akışkanları yukarı doğru hareket ettirmesi ve yerçekiminin de akışkanları aşağı yönde hareket ettirmesi ile sağlanmaktadır. Aynı zamanda basınç dengeleyici gaz olarak kullanılan hidrojen veya helyumun sistem içindeki bir diğer görevi ise sistemin basıncını belirlemektir[44].

3. TEORİK ÇALIŞMA

Enerji ve ekserji metodları ıslı sistemlerin analizinde kullanılan ve iyi bilinen metodlardır. 1. yasa esas alınarak yapılan enerji analizi bir sistemin performansını değerlendirmede yeterli değildir[14]. 2. yasa esas alınarak yapılan ekserji analizi, enerji analizinin dezavantajlarının üstesinden gelmek amacıyla kullanılır. Ekserji analizinde, tersinmezliklerden kaynaklanan ekserji yıkımı hesaplanır. Ekserji ya da kullanılabilirlik, bir madde tarafından verilen yararlı işin maksimum miktarıdır.

Burada termodinamik analiz için şu kabuller yapılmıştır:

- Sistem basıncı 2 noktasından ölçülen basınçtır.
- Hidrostatik basınç ihmali edilmiştir.
- Sıvı çözelti ve buhar baloncukları jeneratör girişinde ve kılcal borudan çıkışında aynı sıcaklığa sahiptir. ($T_{1c}=T_{1e}$)
- Jeneratör ıslı olarak yalıtıldığından çevreye olan ısı kaybı ihmali edilmiştir.

- Evaporatör girişindeki soğutucu - soy gaz karışımı adyabatik olarak kabul edilmiştir.
- Şekil 1'de 3a ile gösterilen noktada akış yoktur.
- Ölү hal sıcaklığının ölçülen ortalama sıcaklığa eşit olduğu kabul edilmiştir.

3.1. Enerji Analizi:

Termodinamik analizin ilk adımda, DASS'deki her bir bileşenin kontrol hacmi seçilmiştir. (Şekil 1) Sistemdeki her bir bileşen için ısı kayıpların, ısı üretimini ve ısı kapasitelerin içeren kütle ve enerji korunum denklemleri aşağıda detaylı olarak verilmiştir. Sistemin bölgeleri ile ilgili farklı özelliklerin alt indisleri Şekil 1'de gösterilmiştir.

Soğutucu akışkanın buharlaşmasını ve sonrasında sıvı karışımından ayrılmasını sağlayan, ayrıca çözeltiyi baloncuk pompasına pompalamak için kullanılan elektrik rezistansı, jeneratör için ısı girişi olarak kullanılmıştır. Baloncuk pompası için kütle ve enerji korunum denklemleri aşağıdaki gibi ifade edilebilir:

$$\dot{Q}_{1s1} = \dot{m}_{1e}h_{1e} + \dot{m}_{1c}h_{1c} - \dot{m}_{7a}h_{7a}$$

Jeneratörden ayrılan buhar az miktarda soğurucu içerdığından, saf soğutucu akışkan olarak hesaba katılmamalıdır. Doğrultucuda kısmen yoğunlaşma yöntemiyle saflaştırıldıktan sonra saf amonyak elde edilebilir. Soğurucu damlaları fazla olan akışkan jeneratöre geri döner. Saf buharın debisi ve çevreye atılan ısı için kullanılan ifadeler aşağıda verilen kütle ve enerji korunum denklemlerinden elde edilebilir:

$$\dot{Q}_{rect} = \dot{m}_{1c}h_{1c} - \dot{m}_2h_2 - \dot{m}_{1d}h_{1d}$$

Jeneratörden çıkan zayıf çözelti çözelti ısı değiştiricisinden (ÇID) gelen daha düşük sıcaklıktaki güçlü çözeltiye enerji transfer eder. Kütle ve enerji dengesi ve ÇID'ni belirten ısı transferi için denklemler aşağıdaki gibi gösterilebilir:

$$\dot{Q}_{ç1d} = \dot{m}_{7b}h_{7b} + \dot{m}_6h_6 - \dot{m}_8h_8 - \dot{m}_{7a}h_{7a}$$

Soğutucu akışkan buharı çalışma sisteminin basıncına eşit yüksek bir basınçla kondenserden geçer ve sıvı faza dönüşür. Kondenser için kütele ve enerji korunum denklemleri aşağıdaki gibidir:

$$\dot{Q}_{kon} = \dot{m}_2 h_2 - \dot{m}_3 h_3$$

Çalışma sistemindeki basınçla aynı basınçta sahip sıvı soğutucu akışkan kondenserden çıktığında gaz ısı değiştiricisi aracılığıyla soğurucudan akan soy gaz ile birleşerek evaporatör girişine ulaşır. Sonuç olarak, sıvı soğutucu akışkanın kısmi basıncı azalır ve bu da düşük sıcaklıklarda buharlaşmaya neden olur. Kütle ve enerji korunum denklemleri aşağıdaki gibidir:

$$\dot{Q}_{evap} = \dot{m}_{5b} h_{5b} - \dot{m}_{4a} h_{4a} - \dot{m}_{ig} h_{ig}$$

Burada;

$$\dot{m}_{4a} + \dot{m}_{ig} = \dot{m}_{5b}$$

şeklindedir.

Güçlü çözelti aşağı yönde evaporatöre doğru akarken, jeneratörden geri dönen zayıf çözelti soğutucu akışkan buharını soğurur.

Kütle ve enerji korunum denklemleri ve çevreye atılan ısı miktarı aşağıdaki gibi ifade edilebilir:

$$\dot{Q}_{abs} = \dot{m}_{5b} h_{5b} + \dot{m}_{9b} h_{9b} - \dot{m}_{10} h_{10} - \dot{m}_{ig} h_{ig}$$

3.2. Ekserji Analizi:

Ekserji analizi yöntemi, termodinamiğin 1. yasasının sınırlamalarını ortadan kaldırır. Ekserji, termodinamiğin 1. ve 2. yasasını esas alır. Ekserji analizi sistemdeki enerji düşmelerinin lokasyonlarını açıkça göstermektedir ve bu da teknolojik gelişimi ve iyileştirilmiş çalışma şartlarını mümkün kılabilmektedir.

Ekserji analizinin temel amacı anlamlı verimliliği (ekserji), ekserji kaybı performansını ve nedenlerini tespit etmektir[14].

Bir karışımın ekserji miktarı m bileşenleri ile şu şekilde ifade edilebilir[2] :

$$E = \sum_{n=1}^m x_n h_n - T_0 \sum_{n=1}^m x_n s_n - \sum_{n=1}^m x_n \mu_{n0}$$

Burada T_0 , 25 °C de alınan referans sıcaklık, x_n kütle fraksiyonu ve μ_{n0} ise T_0 ve P_0 değerlerinde n karışımının kimyasal potansiyedir.

Birim zamandaki ekserji yok oluşu:

$$\Delta \dot{E} = \sum \dot{m}_i E_i - \sum \dot{m}_j E_j + \dot{q}(1 - T_0/T) + \dot{W}_{pe}$$

Denklemdeki ilk iki terim sırasıyla ekserji girişinin ortalaması ve akışkanın çıkış hızıdır. Son terim ise sistem tarafından yapılan işi temsil etmektedir. DASS'ndeki her bir bileşen için ekserji yıkımı denklemi aşağıdaki şekilde yazılır:

$$\Delta E_{1sl} = T_0(\dot{m}_{1c}s_{1c} + \dot{m}_{1e}s_{1e} - \frac{\dot{Q}_{heater}}{T_{heater}} - \dot{m}_{7a}s_{7a})$$

Doğrultucu için ekserji yıkımı ise şu denklem kullanılarak hesaplanır:

$$\Delta E_d = T_0(\dot{m}_2s_2 + \dot{m}_{1d}s_{1d} - \frac{\dot{Q}_d}{T_d} - \dot{m}_{1c}s_{1c})$$

İsı değiştiricisi için ekserji yıkımı :

$$\Delta E_{cid} = T_0[\dot{m}_6(s_{7a} - s_6) + \dot{m}_{7b}(s_8 - s_{7b}) + \frac{\dot{Q}_{cid}}{T_{cid}}]$$

Kondenser için ekserji yıkımı :

$$\Delta E_{kon} = \dot{m}_3s_3 + \frac{\dot{Q}_{kon}}{T_{kon}} - \dot{m}_2s_2$$

Evaporatör için ekserji yıkımı :

$$\Delta E_{evap} = \dot{m}_{5b}s_{5b} - \dot{m}_{4a}s_{4a} - \dot{m}_{ig}s_{ig} - \frac{\dot{Q}_{evap}}{T_{evap}}$$

Absorber (Soğurucu) için ekserji yıkımı :

$$\Delta E_{abs} = \dot{m}_{10}s_{10} + \dot{m}_{ig}s_{ig} + \frac{\dot{Q}_{abs}}{T_{abs}} - \dot{m}_{5b}s_{5b} - \dot{m}_{9b}s_{9b}$$

DASS'nin toplam ekserji yıkımı, sistemdeki her bir bileşenin ekserji yıkımının toplamına eşittir:

$$\Delta \dot{E}_t = \sum_i^M \Delta \dot{E}_i$$

Burada M, DAS sistemindeki bileşen sayısıdır.

DASS'nin verimliliği aşağıdaki parametrelere bağlıdır:

1. Sistemin performans katsayısı (COP)
2. Sistemin ekserjetik performans katsayısı (ECOP)
3. Sistemin dolaşım hızı (f)

Sistemin teorik olarak termodinamik analizi deneylerden elde edilmiş yani ölçülen sıcaklık değerleri kullanılarak yapılabilir. Bu şekilde, DASS'nin performans katsayısı şu denklem aracılığıyla hesaplanabilir:

$$COP_{DASS} = \dot{m}_{sf-b} \frac{\dot{Q}_{evap}}{W_{ISI}}$$

\dot{Q}_{evap} ve W_{ISI} ifadeleri yerlerine yazıldığında, COP_{DASS}

$$COP_{DASS} = \dot{m}_{sf-b} \frac{h_{4c} - h_5}{W_{ISI}}$$

şeklinde ifade edilebilir.

Denklemdeki h_{4c} ve h_5 değişkenleri sırasıyla T_{4c} ve T_5 sıcaklıklarını ile ilgilidir ve evaporatörün giriş ve çıkış entalpilerini ifade eder. h_{4c} ve h_5 hesaplamaları için REFPROP 8.0 yazılımı kullanılmıştır. Enerjinin korunumu yasasına bağlı olarak ölçülen sonuçlar dikkate alındığında, amonyak/su karışımı için kütlesel debi değeri REFPROP kullanılarak hesaplanabilir.

Amonyak soğutma işleminden sorumlu olduğu için, saf amonyağın kütlesel debisi sistem performansı açısından önemlidir. Buna bağlı olarak, COP'yi belirlemek için kütlesel debinin hesaplanması gereklidir.

Kaynaticıdan saflaştırıcıya doğru ilerleyen amonyak/su buharı karışımının kütlesel debisi (\dot{m}_{ky-b}) baloncuk pompasının çıkışında kütle ve enerji korunum denklemleri dikkate alınarak hesaplanır.

$$\dot{m}_{1c} = \dot{m}_{ky-s} + \dot{m}_{ky-b}$$

$$x_{1c} \cdot \dot{m}_{1c} = x_{ky-s} \cdot \dot{m}_{ky-s} + x_{ky-b} \cdot \dot{m}_{ky-b}$$

$$h_{1c} \cdot \dot{m}_{1c} + \dot{q}_{ky} = h_{ky-s} \cdot \dot{m}_{ky-s} + h_{ky-b} \cdot \dot{m}_{ky-b}$$

Kondensere doğru akan saf amonyak buharının kütlesel debisi (\dot{m}_{sf-b}) saflaştırıcı çıkışında kütle korunum denklemi kullanılarak hesaplanır.

$$\dot{m}_{ky-b} = \dot{m}_{sf-s} + \dot{m}_{sf-b}$$

$$x_{ky-b} \cdot \dot{m}_{ky-b} = x_{sf-s} \cdot \dot{m}_{sf-s} + x_{sf-b} \cdot \dot{m}_{sf-b}$$

İslak buhar konsantrasyonu (x) ve denklemlerde kullanılan entalpi değerleri (h) akışkan gruplarının fiziksel ve kimyasal özelliklerini simülasyonla gösterebilen REFPROP yazılımı ile bulunmuştur.

Denk 16.daki nano soğutucu akışkanlı soğutucunun COP değerini hesaplamak için gereken \dot{Q}_{evap} , sistem basıncındaki deneyel c_p değerleri ve denk. 23'ün genişletilmesiyle elde edilen denk. 24 kullanılarak hesaplanmıştır. Özgül ısı (c_p) kalorimetrik teknik kullanılarak ölçülmüştür[15].

$$C_p = \left(\frac{\partial h}{\partial T} \right)_P$$

$$\Delta h = h_{4c} - h_5 = \int_{4c}^5 C_p dT$$

Çelşitli enerji sistemleri için ekserjetik (ekserji ya da ikinci yasa) performansı formülize etmenin pek çok yolu detaylı olarak verilmiştir. [16]

$$ECOP = \frac{|\dot{q}_e(1 - T_0/T_e)|}{\dot{q}_g(1 - T_0/T_g)}$$

DASS'nin dolaşım oranı :

$$f = \frac{\dot{m}_6}{\dot{m}_2}$$

4. SONUÇLAR VE TARTIŞMA

DAS sistemlerinin enerji ve ekserji performanslarını belirlemeden önemli belirleyiciler sıcaklık ve sistem basıncı parametreleridir. Bu çalışmada, dış borunun metlik yüzeyine temas eden K tipi termokupl (± 0.25 °C) jeneratör, baloncuk pompası, doğrultucu, condenser, evaporator, absorber ve ısı değiştiricisinin giriş ve çıkış sıcaklıklarını ölçmek için kullanılmıştır. sıcaklığını çözelti ısı değiştiricisinin içteki borusundan doğrudan ölçmek imkansızdır. Bu nedenle T_{7a} sıcaklığının dış borunun yüzeyinden ölçülen sıcaklığa eşit olduğu kabul edilmiştir. Sistemin çalışma basıncı analog manometre, (± 0.2 bar) elektrik tüketimi ise elektronik sayaç (± 0.1 kWh) yardımıyla ölçülmüştür.

Sistemin seçilen noktalarında ölçülen sıcaklıklı değişimler Şekil 5'te verilmiştir. Karışımındaki amonyak sisteme kaynatıcı tarafından sağlanan ısı yardımıyla buharlaştırılmıştır. Şekil 5'te görülen T_{7b} sıcaklık deney sonuçlarına göre, nano soğutuculu iş akışkanının sıcaklığı yaklaşık 20°C daha yüksektir. Bu, iş akışkanı içerisindeki metal oksitlerin ısı absorpsiyonunu artırması olarak yorumlanabilir. Daha fazla absorpsiyon, sistemin doğrultucu kısmında yer alan az miktardaki su buharının daha hızlı ayrılmasına neden olur. Buna ek olarak, nanopartikül içermeyen iş akışkanının sıcaklığındaki dalgalanmalar deneyin ilk 30 dakikalık bölümünde elimine edilmiştir. Sıcaklıktaki dalgalanmaların az olmasına rağmen, j-kaynatıcıda amonyağın sıcaklık değişimi genellikle ihmal edilmiştir. (Şekil 5) Bunun sonucu olarak, amonyak tarafından soğurulan ısı miktarı her iki iş akışkanında da sabittir. Buna rağmen, nanoakışkan tarafından kaynatıcıdan alınan ekstra ısının amonyak/su karışımından ayrılan su ile taşıdığı gözlemlenmiştir. Kondenser girişinde, saf amonyakta bir sıcaklık artışı gözlemlenmesine rağmen, nanoakışkanlı karışımda önemli sıcaklık dalgalanmaları gözlemlenmemiştir. (Şekil 5)

Nanoakışkan kullanıldığından kondenser çıkış sıcaklığı (T_3) artmıştır. (Şekil 5) Sıcaklık artışı yaklaşık 5°C'dir.

Kondenseri terk eden sıvı amonyak, düzenleyici gaz ile evaporatöre taşınmıştır ve kondenserdeki sıcaklık artışından dolayı, amonyak miktarında önemli bir düşüş gözlemlenmiştir. Amonyak miktarındaki azalma sistemin soğutma kapasitesini azaltır çünkü bu durum evaporatörde ölçülen sıcaklık düşüşünün yeterli olmamasına neden olur. Buna rağmen, nanoakışkan içeren iş akışkanı ile evaporatördeki sıcaklık düşüşü daha kısa zaman aralığında meydana gelecektir. Bu, termostatın anahtarlama süresini büyük sıcaklık düşüşünün istenmediği durumlarda azaltacaktır (Şekil 5). Böylelikle enerji tasarrufu sağlanacaktır.

Evaporatör çıkışındaki (amonyak helyum karşımı) sıcaklık değişimi Şekil 5 te görülmektedir. Nanoakışkan içeren iş akışkanının kararlı durum sıcaklığının 5°C daha yüksek olduğu görülmektedir.

Daha önceki çalışmalarda nanoakışkanların basınç düşüşüne neden olduğu bulunmasına rağmen, bu deneylerde ihmäl edileBILECEK kadar küçük basınç değişimleri olmuştur. Sistem basıncı 2 noktasında, kondenser girişinde ölçülmüştür. Deney devam ettikçe, basınç düşüşü çok az miktarda gözlemlenmiştir (Şekil 6).

Nanoakışkan içeren DASS, nanoakışkan içermeyen DASS'ne göre daha yüksek sistem basıncına sahiptir (Şekil 6). Her iki sistemin maksimum basıncı aynıdır. (180 dakikada 17.5 bar) Basınç DASS'de önemli bir parametredir, çünkü daha büyük sistem basıncı iş akışkanının daha yüksek dolaşım oranına sahip olmasına neden olur. Nanopartiküllerin dolaşım oranını 30 dakikadan 180 dakikaya artırdığı gözlemlenmiştir. Ortalama sıcaklıktaki zamanla değişim şekil 7 de verilmiştir. Sıcaklıktaki artış 2.7 °C'dir.

Bu çalışmanın sonuçları şöyledir: Nanopartikül içeren soğutma/soğurma akışkanları mini DAS sistemlerinde kullanıldığından arzu edilen ortalama soğutma sıcaklığına neden olmuştur.

Bunun yanı sıra, nanoparikül içeren soğutucu/soğurucu akışkanlar sistemin kararlı durum sıcaklığına hızla ulaşmasına neden olmuştur. Şekil 5'de görüldüğü gibi, nanoakışkan içeren DASS'nde evaporatörde 0°C sıcaklığı 20 dakikada ulaşılırken, nanoakışkan içermeyen DASS'nde aynı sıcaklığa 55

dakikada ulaşılmıştır. Nanopartikül içeren çözeltinin nanopartikül içermeyen çözeltiye kıyasla, termodinamik olarak daha fazla soğurma kabiliyeti olduğu gözlemlenmiştir. Artan ısı absorpsyonunun tüm soğutma kapasitesinde sınırlı bir iyileşmeye sahip olması beklenmektedir, ama böyle bir sistemin ısıl performansının düşük olacağı gerçeğini söylemek de önemlidir.

COP, ECOP ve F değerlerindeki değişimler Şekil 6'da görülmektedir. Sitem kararlı hale geldiğinde nanoakışkan içermeyen sistemin performans katsayısı 180 dakikada % 9,12'ye ulaşmasına rağmen, nanokışkanlı sistemin performans katsayısı (COP) %14.22 ye ulaşmıştır. Benzer şekilde sistem için ekserjetik soğutma etkinlik katsayısı (ECOP) nanoakışkan içermeyen ve nanoakışkan içeren sistem için sırasıyla % 8.7 ve %10.15'e ulaşmıştır. Bunun sonucunda, nanoakışkan içeren sisteme soğutma etkinlik katsayısı ve ECOP değerinde sırasıyla % 59.92 ve % 16.67 oranında bir iyileşme elde edilmiştir.(Şekil 8)

Nanoakışkan içeren DASS'nin en yüksek COP değerlerine sahip olduğu gözlemlenmiştir. Nanoakışkanın DASS performansına olan olumlu etkisi açıkça gösterilmiştir.

COP değerlerindeki farklılık performans üzerinde ortalama % 59.92 oranında bir yarar göstermiştir. Böyle tip ısıl sistemlerin düşük performansları göz önüne alındığında bu değer önemli bir değerdir. Farklı partikül boyutlarının ve miktarlarının sistem performansı üzerine etkileri takip eden çalışmalarında incelenecektir. Bu çalışma; çoğu ilgili alanda gösterildiği gibi, nanoakışkanların DASS'nde ısıl performansı artırması bakımından önemli olduğunu göstermiştir.

En büyük ekserji kaybı her iki sistem için de, sistemin jeneratör kısmında meydana gelmiştir. (Şekil 9) Ekserji kaybı nanoakışkanlı sistemin çoğu bileşeninde artmasına rağmen, ısıtıcı bölümünde 2/3 oranında azalmıştır. Bu durum soğutucu akışkan içerisindeki nanopartiküllerin sergilemiş olduğu yüksek ısı absorpsyon performansının etkisinden dolayı ortaya çıkmıştır.

5. ÇALIŞMANIN ÇIKTILARI

Nanoakışkan içeren DASS deneysel analize göre en iyi performansı göstermiştir. DASS'nde ısının soğutucu/soğurucu akışkanlara aktarıldığı kaynatıcıda kullanılan nanoakışkan, ısı transferini artırmıştır. Soğutucu amonyak karışımından daha hızlı ve daha kolay bir şekilde ayrıldığından artan ısı

transferi soğutma etkisine katkıda bulunmuştur. Böylece, artan kaynatıcı sıcaklığı amonyağın, suyun soğurucu akışkan olduğu amonyak/su karışımından daha hızlı ayrılmasına neden olmuştur.

Nanoakışkan içeren DASS nanokışkansız DASS'ne göre soğutma alanı sıcaklığının azalması bakımından daha hızlıdır (0°C). Dolayısıyla, nanoakışkan içeren sistem enerji tasarrufu açısından çalışma boyunca herhangi bir belirli iç sıcaklığa göre daha iyidir.

Sonuç olarak, nanoakışkan içeren sisteme hem COP hem de ECOP değerlerinde artış meydana gelmiştir. Sistem bileşenlerinin ekserji kaybındaki artış, toplam ısıtıcıdaki ekserji kaybında soğutucu akışkanın jeneratör bölümünde absorberden kolaylıkla ayrılacağı sıcaklığın elde edilmesini kolaylaştırarak ortalama bir düşüşe neden olmuştur.

Teşekkür :

Bu çalışma TÜBİTAK tarafından desteklenmiştir. (Proje no:112M039)

KAYNAKÇA

1. Von Platen, B.C., Munters, C.G. , Refrigerator, US Patent 1, (1928) 685-764.
2. Zohar,A., Jelinek, M., Levy, A., Borde, I., The influence of diffusion absorption refrigeration cycle configuration on the performance. *Applied Thermal Engineering*. 27 (13) (2007) 2213-2219.
3. Koyfman, A., Jelinek, M., Levy, A., Borde, I, An experimental investigation of buble pump performance for diffusion absorption refrigeration system with organic working fluids. *Applied Thermal Engineering*. 23 (2003) 1181-1194.
4. Sözen, A., Menlik, T., Özbaş, E., The effect of ejector on the performance of diffusion absorption refrigeration systems: An experimental study. *Applied Thermal Engineering*. 33-34 (2012) 44-53
5. Starace, G., De Pascalis, L., An enhanced model for the design diffusion absorption refrigerators, *International Journal of Refrigeration*, 36 (2013) 1495-1503.
6. Starace, G., De Pascalis, L., An advanced analytical model of the diffusion absorption refrigerator cycle, *International Journal of Refrigeration*, 35 (2012) 605-612.
7. Rodriguez-Munoz, J.L., Belman-Flores, J.M., Review of diffusion-absorption refrigeration technologies. *Renewable and Sustainable Energy Reviews*. 30 (2014) 145-153.
8. Zohar, A., Jelinek, M., Levy, A., Borde, I., The influence of the generator and bubble pump configuration on the performance of diffusion absorption refrigeration (DAR) system, *International Journal of Refrigeration*, 31 (2008) 962-969.
9. Zohar, A., Jelinek, M., Levy, A., Borde, I., Performance of diffusion absorption refrigeration cycle with organic working fluids. *International Journal of Refrigeration*. 32 (2009) 1241-1246.
10. Yang , L., Du, K., Bao, S., Wu, Y., Investigations of selection of nanofluid applied to the ammonia absorption refrigeration system. *International Journal of Refrigeration*. 35 (2012) 2248-2260.
11. Kim, J.K., Lee, J.K., Kang, Y.T., Absorption performance enhancement by nano-particles and chemical surfactants in binary nanofluids. *International Journal of Refrigeration*. 30 (2007) 50-57
12. Mahbubal, I.M., Fadhilah, S.A., Saidur, R., Leong, K.Y., Amalina, M.A., Thermophysical properties and heat transfer performance of $\text{Al}_2\text{O}_3/\text{R}-134\text{a}$ nanorefrigerants, *International Journal of Heat and Mass Transfer*. 57 (2013) 100-108.
13. Yıldız, A., Ersöz, M.A. Energy and exergy analyses of the diffusion absorption refrigeration system, *Energy*, 60 (2013) 407-415.
14. Dincer, I. and Rosen, M.A. *Exergy: Energy, Environment and Sustainable Development*, Elsevier Science Ltd. (2007)

15. Gailhanou, H., Blanc, P., et al. Thermodynamic properties of illite, smectite and beidellite by calorimetric methods: Enthalpies of formation, heat capacities, entropies and Gibbs free energies of formation, *Geochimica et Cosmochimica Acta*, 89 (2012) 279-301
16. Kotas, T.J. The exergy method of thermal plant analysis. Florida: Kriger Publishing Company. (1995)